

Koordinaten $olv^*_{3,M}$, $LCH^*_{a,M}$, tch^*_M von Maximalfarben M der Systeme: ORS18, TLS18, NRS18, SRS18

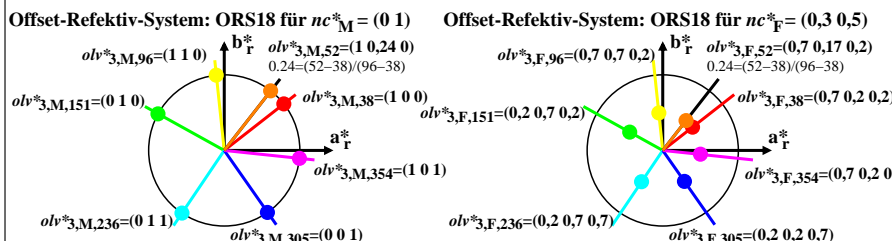
Offset-Refektiv-System: ORS18				Fernseh-Licht-System: TLS18			
Farbe	$olv^*_{3,M}$	$LCH^*_{a,M}$	tch^*_M	Farbe	$olv^*_{3,M}$	$LCH^*_{a,M}$	tch^*_M
Orangerot O	(1 0 0)	(48 83 38)	(0,5 1 0,11)	Orangerot O	(1 0 0)	(53 87 35)	(0,5 1 0,10)
Gelb Y	(1 1 0)	(90 92 96)	(0,5 1 0,27)	Gelb Y	(1 1 0)	(93 87 103)	(0,5 1 0,29)
Laubgün L	(0 1 0)	(51 72 151)	(0,5 1 0,42)	Laubgün L	(0 1 0)	(84 108 137)	(0,5 1 0,38)
Cyanblau C	(0 1 1)	(59 54 236)	(0,5 1 0,66)	Cyanblau C	(0 1 1)	(87 46 196)	(0,5 1 0,54)
Violettblau V	(0 0 1)	(26 54 305)	(0,5 1 0,85)	Violettblau V	(0 0 1)	(36 115 304)	(0,5 1 0,84)
Magentarot M	(1 0 1)	(48 76 354)	(0,5 1 0,98)	Magentarot M	(1 0 1)	(59 105 328)	(0,5 1 0,91)
Schwarz N	(0 0 0)	(18 0 0)	(0 0 0,00)	Schwarz N	(0 0 0)	(18 0 0)	(0 0 0,00)
Weiß W	(1 1 1)	(95 0 0)	(1 1 0,00)	Weiß W	(1 1 1)	(95 0 0)	(1 1 0,00)
Testfarbe 52	(1 0,24 0)	(58 77 52)	(0,5 1 0,14)	Testfarbe 52	(1 0,25 0)	(63 75 52)	(0,5 1 0,14)

Natürliches Refektiv-System: NRS18				Standard-Refektiv-System: SRS18			
Farbe	$rgb^*_{3,M}$	$LCH^*_{a,M}$	tch^*_M	Farbe	$olv^*_{3,M}$	$LCH^*_{a,M}$	tch^*_M
Orangerot O	(1 0 0)	(56 77 25)	(0,5 1 0,07)	Orangerot O	(1 0 0)	(56 77 30)	(0,5 1 0,08)
Gelb Y	(1 1 0)	(56 77 92)	(0,5 1 0,26)	Gelb Y	(1 1 0)	(56 77 90)	(0,5 1 0,25)
Laubgün L	(0 1 0)	(56 77 162)	(0,5 1 0,45)	Laubgün L	(0 1 0)	(56 77 150)	(0,5 1 0,42)
Cyanblau C	(0 1 1)	(56 77 217)	(0,5 1 0,60)	Cyanblau C	(0 1 1)	(56 77 210)	(0,5 1 0,58)
Violettblau V	(0 0 1)	(56 77 272)	(0,5 1 0,76)	Violettblau V	(0 0 1)	(56 77 270)	(0,5 1 0,75)
Magentarot M	(1 0 1)	(56 77 329)	(0,5 1 0,91)	Magentarot M	(1 0 1)	(56 77 330)	(0,5 1 0,92)
Schwarz N	(0 0 0)	(18 0 0)	(0 0 0,00)	Schwarz N	(0 0 0)	(18 0 0)	(0 0 0,00)
Weiß W	(1 1 1)	(95 0 0)	(1 1 0,00)	Weiß W	(1 1 1)	(95 0 0)	(1 1 0,00)
Testfarbe 52	(1 0,40 0)	(56 65 52)	(0,5 1 0,14)	Testfarbe 52	(1 0,37 0)	(56 67 52)	(0,5 1 0,14)

YG780-3

System ORS18: Daten $olv^*_{3,M}$, $LCH^*_{a,M}$, tch^*_M für $nc^*_M=(0 1)$ und $olv^*_{3,F}$, $LCH^*_{a,F}$, tch^*_F für $nc^*_F=(0,3 0,5)$

Daten für $nc^*_M=(0 1)$				Daten für $nc^*_F=(0,3 0,5)$			
Farbe	$olv^*_{3,M}$	$LCH^*_{a,M}$	nch^*_M	$olv^*_{3,F}$	$LCH^*_{a,F}$	nch^*_F	
Orangerot O	(1 0 0)	(58 83 38)	(0 1 0,11)	(0,7 0,2 0,2)	(38 42 38)	(0,3 0,5 0,11)	
Gelb Y	(1 1 0)	(90 92 96)	(0 1 0,27)	(0,7 0,7 0,2)	(54 46 96)	(0,3 0,5 0,27)	
Laubgün L	(0 1 0)	(51 72 151)	(0 1 0,42)	(0,2 0,7 0,2)	(35 36 151)	(0,3 0,5 0,42)	
Cyanblau C	(0 1 1)	(59 54 236)	(0 1 0,66)	(0,2 0,7 0,7)	(39 27 236)	(0,3 0,5 0,66)	
Violettblau V	(0 0 1)	(26 54 305)	(0 1 0,85)	(0,2 0,2 0,7)	(22 27 305)	(0,3 0,5 0,85)	
Magentarot M	(1 0 1)	(48 76 354)	(0 1 0,98)	(0,7 0,2 0,7)	(33 38 354)	(0,3 0,5 0,98)	
Schwarz N	(0 0 0)	(18 0 0)	(1 0 0,00)	(0,2 0,2 0,2)	(18 0 0)	(1 0 0,00)	
Weiß W	(1 1 1)	(94 0 0)	(0 0 0,00)	(0,7 0,7 0,7)	(56 0 0)	(0,3 0 0,00)	
Testfarbe 52	(1 0,24 0)	(66 77 52)	(0 1 0,14)	(0,7 0,24 0,2)	(42 39 52)	(0,3 0,5 0,14)	



YG780-7

Farbmetrischen Daten der Farben F für Systeme SRS18, ORS18, TLS00, NRS18

Sechs Bunttonwinkel des Gerätes SRS18: (30.0 90.0 150.0 210.0 270.0 330.0);

Sechs Bunttonwinkel des Gerätes ORS18: (37.7 96.4 150.9 236.0 305.0 353.7);

Sechs Bunttonwinkel des Gerätes TLS00: (40.0 102.8 136.0 196.4 306.3 328.2);

Sechs Bunttonwinkel des Gerätes NRS18: (25.5 92.3 162.2 217.0 271.7 328.6);

Vier Bunttonwinkel der Elementarfarben: (25.5 92.3 162.2 271.7)

		SRS18		SRS18		ORS18		TLS00		NRS18	
Nr.	Farbe	olv^*_3	H^*_{si}	H^*_{di}	H^*_{ei}	H^*_{di}	H^*_{ei}	H^*_{di}	H^*_{ei}	H^*_{di}	H^*_{ei}
01	N	0.0 0.0 0.0	0	0	340	16	353	4	343	357	337
02	Vn	0.0 0.0 0.5	270	270	269	305	297	306	297	272	270
03	V	0.0 0.0 1.0	270	270	269	305	297	306	297	272	270
04	Ln	0.0 0.5 0.0	150	150	164	151	163	136	146	162	180
05	Cn	0.0 0.5 0.5	210	210	219	236	240	196	208	217	225
06	-	0.0 0.5 1.0	240	240	244	271	270	251	253	244	247
07	L	0.0 1.0 0.0	150	150	164	151	163	136	146	162	180
08	-	0.0 1.0 0.5	180	180	195	193	204	166	183	190	203
09	C	0.0 1.0 1.0	210	210	219	236	240	196	208	217	225
10	On	0.5 0.0 0.0	30	30	6	38	18	40	20	25	360
11	Mn	0.5 0.0 0.5	330	330	316	354	336	328	315	329	315
12	-	0.5 0.0 1.0	300	300	292	329	316	317	306	300	292
13	Ln	0.5 0.5 0.0	90	90	87	96	95	103	104	92	90
14	Z	0.5 0.5 0.5	0	0	340	16	353	4	343	357	337
15	Vw	0.5 0.5 1.0	270	270	269	305	297	306	297	272	270
16	-	0.5 1.0 0.0	120	120	126	124	130	119	124	127	135
17	Lw	0.5 1.0 0.5	150	150	164	151	163	136	146	162	180
18	Mw	0.5 1.0 1.0	210	210	219	236	240	196	208	217	225
19	O	1.0 0.0 0.0	30	30	6	38	18	40	20	25	360
20	-	1.0 0.0 0.5	0	0	340	16	353	4	343	357	337
21	M	1.0 0.0 1.0	330	330	316	354	336	328	315	329	315
22	-	1.0 0.5 0.0	60	60	46	67	57	71	61	59	45
23	Ow	1.0 0.5 0.5	30	30	6	38	18	40	20	25	360
24	Mw	1.0 0.5 1.0	330	330	316	354	336	328	315	329	315
25	Y	1.0 1.0 0.0	90	90	87	96	95	103	104	92	90
26	Yw	1.0 1.0 0.5	90	90	87	96	95	103	104	92	90
27	W	1.0 1.0 1.0	0	0	340	16	353	4	343	357	337

$$a^*_r = o^*_3 \cos(30) + l^*_3 \cos(150)$$

$$b^*_r = o^*_3 \sin(30) + l^*_3 \sin(150) - v^*_3 \sin(270)$$

$$H^*_s = \text{atan}(b^*_r / a^*_r)$$

$$H^*_{si} = \text{round}(H^*_s)$$